

بررسی تاثیر نیتروژن دهی پلاسمایی بر ریزساختار و سختی فولادهای ابزار گرم کار AISI P20 و قالب تزریق پلاستیک AISI H11

نسیم نایب پاشایی، حسین معدنی پور، منصور سلطانیه و شهرام خیراندیش

دانشکده مهندسی مواد و متالورژی، دانشگاه علم و صنعت ایران

حسین آقاجانی

دانشکده مهندسی مکانیک، دانشگاه تبریز

(دریافت مقاله: ۹۰/۰۸/۰۷ - پذیرش مقاله: ۹۱/۰۵/۰۱)

چکیده

در این تحقیق دو گروه نمونه از جنس فولاد ابزار گرم کار AISI H11 و فولاد قالب تزریق پلاستیک AISI P20 در دو دمای ۵۰۰ و ۵۵۰ درجه سانتی گراد، به مدت زمان ۵ و ۱۰ ساعت و ترکیب گاز $N_2/75\%H_2/25\%$ با استفاده از دستگاه نیتروژن دهی پلاسمایی پالسی جریان مستقیم نیتروژن دهی شدند. ضخامت منطقه نفوذی و لایه ترکیبی، توسط میکروسکوپ الکترونی رویشی و فازهای تشکیل شده در سطح به وسیله آنالیز تفرق اشعه ایکس (XRD) بررسی شد. همچنین تغییرات ریزساختی از سطح به عمق نمونه‌ها اندازه گرفته شد. نتایج نشان می‌دهد که به دلیل نوع ریزساختار زیرلایه و مسیرهای نفوذی مناسب‌تر عنصر نیتروژن در فولاد AISI H11 نسبت به AISI P20، همواره ضخامت لایه نفوذی و ترکیبی تشکیل شده در فولاد AISI H11 بیشتر از فولاد AISI P20 است. نتایج آنالیز EDS از لایه نیتریدی نشان داد که حین نیتروژن دهی پلاسمایی فولاد AISI P20 نفوذ کردن به سمت سطح روی داده است ولی در نتایج EDS از لایه نیتریدی فولاد AISI H11 این پدیده مشاهده نشد. مطابق با نتایج نیم رخ سختی پس از نیتروژن دهی پلاسمایی، در یک عمق یکسان، فولاد AISI H11 میزان سختی بالاتری نسبت به فولاد AISI P20 نشان داده است. بررسی‌های پراش اشعه ایکس (XRD) حاکی از آن است که لایه نیتریدی در فولاد AISI H11 از دو فاز نیتریدی گاما پرایم (γ') و اپسیلن (ϵ) تشکیل شده است اما در فولاد AISI P20 فاز نیترید اپسیلن به عنوان فاز نیتریدی غالب در همه شرایط زمانی و دمائی انجام فرآیند تشکیل شده است.

واژه‌های کلیدی: نیتروژن دهی پلاسمایی، فولاد ابزار گرم کار AISI H11، فولاد قالب پلاستیک AISI P20، نیترید.

Investigation of the effect of time and temperature of plasma nitriding on the microstructure and growth of nitrided layer in hot working tool steel AISI H11 and plastic injection mould steel AISI P20

N. NayebPashaee, H. Madanipour, M. Soltanieh and Sh.Kheirandish

Department of Metallurgy and Materials Engineering, Iran University of Science and Technology

H. Aghajani

Department of Mechanical Engineering, Tabriz University

(Received 28 October 2011, accepted 22 July 2012)

Abstract

In this study, pulsed plasma nitriding treatment was performed on hot work tool steel AISI H11 samples and plastic mould steel AISI P20 samples at different process temperatures of 500°C and 550°C for 5 and 10 h in gas mixture of 75% N₂ - 25% H₂. Diffusion zones and compound layers were studied by optical and scanning electron microscopy and the surface phases were determined by X-ray diffraction analysis. Moreover, micro hardness changes from surface to core of the samples were determined. Results have shown that, at any specific plasma nitriding temperature and time, due to the microstructure and appropriate paths for diffusing of nitrogen in AISI H11 in comparison with AISI P20, the diffusion and compound layers of AISI H11 are thicker than that of AISI P20. Regarding the results of EDS, upward diffusion of carbon occurred during the ion nitriding of AISI P20, but EDS analysis of diffusion zone of AISI H11 does not show carbon. XRD results have shown that nitriding layer in AISI H11 is composed of γ -nitride and ϵ -nitride, while ϵ -nitride was the most forming phase in AISI P20 at all the process parameters. The results of micro hardness profiles at the same depth, have shown that AISI H11 is harder than AISI P20.

Keywords: Plasma Nitriding, Hot Work Tool Steel AISI H11, Plastic Mould Steel AISI P20, Nitride

E-mail of corresponding author: nayebpashaee@iust.ac.ir

مقدمه

و خواص سایشی به دلیل تشکیل لایه نیترید سطحی بهبود یافته است که این خواص با تغییرات دما، زمان و فشار جزیی نیتروژن در فرآیند نیتروژن دهی پلاسمائی مستقیماً ارتباط دارد [۱۰-۱۲]. همان طور که می‌دانیم تشکیل نیتریدهای سطحی و همچنین برخورد اجزاء یونی طی فرآیند کند و پاش می‌تواند مورفولوژی سطح را تغییر دهد. در تحقیق انجام شده به منظور بررسی مکانیزم رشد لایه سفید در نیتروژن دهی پلاسمائی فولاد ابزار گرم کار AISI H11 یک مکانیزم [۱۳] پیشنهاد شده است که بر مبنای آن لایه ترکیبی از دو بخش مجزا تشکیل شده باشد، به گونه‌ای که یک بخش متاثر از کندوپاش و بخش دیگر متاثر از نفوذ است. در این راستا نیتریدهای سطحی به عنوان بخش متاثر از کندوپاش و لایه زیرین آن‌ها بخش متاثر از نفوذ در نظر گرفته شده است.

نمایش شمایی این تقسیم بندی در شکل ۱ دیده می‌شود.

در تحقیق حاضر نیتروژن دهی پلاسمائی بر روی دو فولاد ابزار گرم کار AISI H11 و فولاد قالب تزریق پلاستیک AISI P20 در دماها و زمان‌های متفاوت انجام شده است. بررسی P20 در پژوهش جدگانه‌ای شرح کامل داده شده است [۱۴]. بررسی و مقایسه رشد لایه‌های نیتریدی تشکیل شده در شرایط دمایی و زمانی متفاوت و عمق نفوذ نیتروژن در فولاد زیرلایه با توجه به ریزاساختار از اهداف تحقیق حاضر هستند. همچنین تغییرات مورفولوژی ذرات سطحی در دو فولاد مورد استفاده از اهداف دیگر پژوهش است.

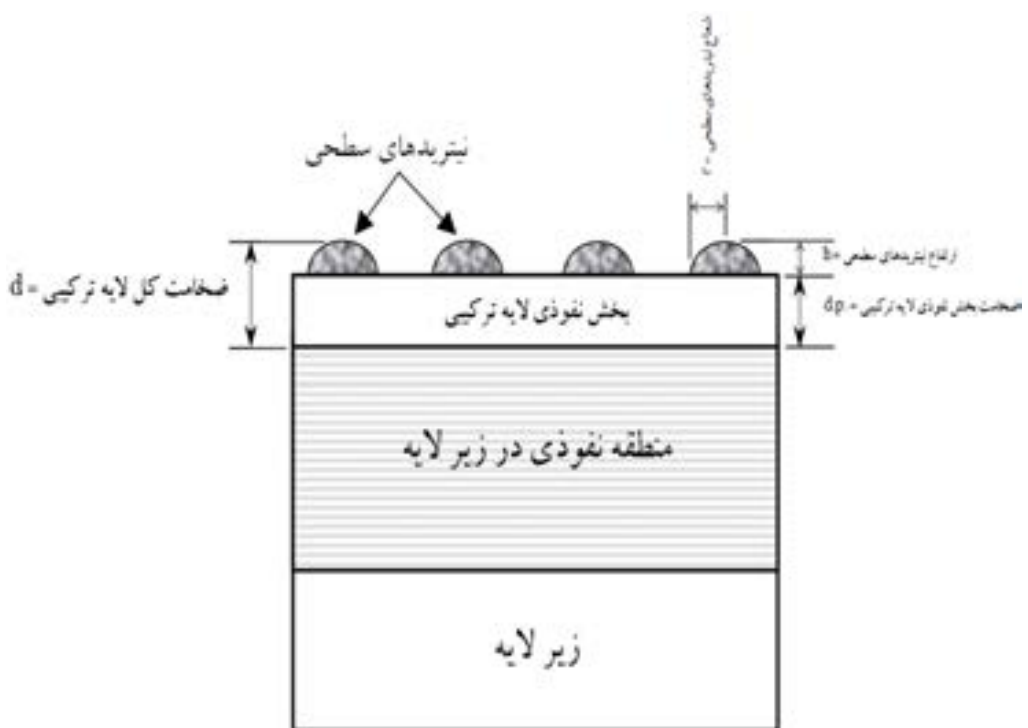
مواد و روش آزمایش‌ها

عملیات نیتروژن دهی پلاسمائی بر روی نمونه‌های فولاد ابزار گرم کار AISI H11 و فولاد قالب تزریق پلاستیک AISI P20 انجام پذیرفت. ترکیب شیمیایی این فولادها در جدول ۱ ارایه شده است. نمونه‌های در نظر گرفته شده به عنوان زیرلایه به شکل دیسک‌هایی با قطر تقریبی ۲۰ میلی‌متر و ارتفاع تقریبی ۱۰ میلی‌متر ماشین‌کاری شدند. سپس نمونه‌ها به منظور تشخیص بهتر لایه‌های ایجاد شده پس از نیتروژن دهی در درجات مختلف سمباده زنی شده و به وسیله پودر آلومینی

عمده عیوب ایجاد شده در فولادهای ابزار، ناشی از سایش و خستگی ترمومکانیکی است. به علاوه، همواره ابزارها و قالب‌ها در معرض تنش‌های حرارتی نیز هستند [۱]. نیتروژن دهی پلاسمائی به طور وسیعی برای بهبود خواص خستگی، مقاومت خوردگی و سایش مواد مختلف مهندسی به کار می‌رود [۲]. همچنین این فرآیند به خاطر خاصیت روغن کاری لایه سفید به علاوه سختی و استحکام آن در صنایع ابزار و قالب گسترش قابل توجهی یافته است [۳]. با افزایش عمر کارکرد آن‌ها به وسیله عملیات پوشش دهی می‌توان دوره تعویض قطعات و هزینه‌های تولید را کاهش و کیفیت محصول نهایی و راندمان تولید را افزایش داد [۴-۵].

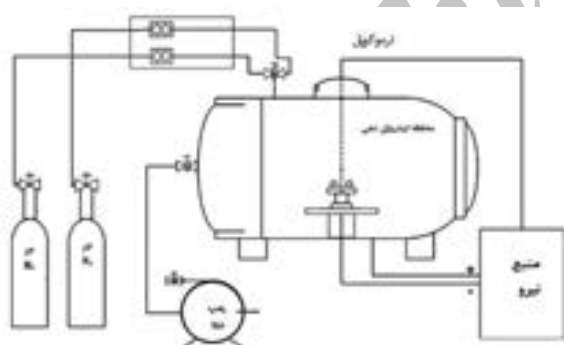
در زمینه نیتروژن دهی پلاسمائی فولادهای ابزار و قالب تحقیقات زیادی انجام گرفته است. در پژوهش انجام شده توسط S.J. Bull و همکاران، با هدف انتخاب پوشش و عملیات سطحی مناسب برای ادوات دستگاه قالبگیری تزریقی پلاستیک، بهترین عملیات سطحی بر پایه نیتروژن دهی و با ترکیبی از نیتروژن دهی و کاشت یون حاصل شده است [۶]. در پژوهش مشابهی که توسط Boey و همکاران در خصوص شبیه سازی اثر دما بر روی سایش ساینده تجهیزات دستگاه قالبگیری تزریقی پلاستیک بر روی نمونه هایی از جنس فولاد AISI P20 انجام شده است عملیات سطحی ترکیبی شامل کاشت یون نیتروژن بر روی نمونه فولادی نیتروژن دهی شده، کارائی سایشی عالی نشان داده است [۷]. عملیات نیتروژن دهی پلاسمائی فولاد AISI P20 منجر به افزایش قابل توجه چسبندگی پوشش PVD و مقاومت سایشی عالی در بار اعمالی بالاتر شده است در حالیکه پوشش‌های رسوب داده شده روی نمونه‌های AISI P20 نیتروژن دهی نشده به دلیل قابلیت تحمل بار ضعیفتر، مقاومت سایشی محدودی را نشان داده اند [۸].

در بررسی رفتار سایشی فولاد ابزار AISI H11 نیتروژن دهی شده گزارش شده است که نیتراسیون سطحی مقاومت سایشی در دمای بالا را بهبود می‌بخشد [۹]. همچنین در پژوهش‌های صورت گرفته بر روی فولادهای ابزار کروم دار سختی سطح



شکل ۱. نمایش شماتیک نحوه تقسیم لایه ترکیبی به دو بخش نیتریدهای سطحی و بخش نفوذی [۱۳].

برای جلوگیری از کنده شدن و یا تخریب لایه سفید، نمونه‌ها به گونه‌ای مانت گرم شدند که سطح نیتروروره شده داخل ماده مانت قرار گیرد.



شکل ۲. شماتیک قسمتهای مختلف دستگاه نیتروژن دهی پلاسمایی.

۱/۵ میکرومتر پولیش شدند تا سطح آنها کاملاً براق و آینه‌ای گردد.

نیتروژن دهی به وسیله دستگاه پالسی جریان مستقیم با دامنه ولتاژ ۵۰۰ الی ۶۵۰ ولت و در دو دمای ۵۰۰ و ۵۵۰ درجه سانتی گراد، دو زمان ۵ و ۱۰ ساعت و ترکیب گاز ثابت $H_2\% ۷۵-N_2\% ۲۵$ انجام شد. در طی انجام آزمایش، فشار (در حدود 5 ± 1 میلی‌بار) و دبی گاز ثابت نگه داشته شد. بعد از اتمام زمان آزمایش، نمونه‌ها تحت خلاء ۱ میلی‌بار تا رسیدن به دمای محیط درون محفظه سرد شدند. شماتیک دستگاه مورد استفاده در شکل ۲ نشان داده شده است. پس از خارج کردن نمونه‌ها از محفظه، به منظور انجام عملیات متالوگرافی و

جدول ۱. ترکیب شیمیایی فولاد H11 و P20 مورد استفاده در این پژوهش.

وانادیم	عنصر(درصد وزنی)									فولاد
	نیکل	فسفر	مولیبدن	سیلیسیم	کربن	منگنز	کروم	آهن		
۰/۲۸	۰/۱۴	۰/۰۰	۱/۱۰	۰/۲۵	۰/۳۰	۰/۳۳	۳/۵۰	پایه	AISI H11	
۰/۰۰	۰/۰۰	۰/۰۲	۰/۱۸	۰/۲۹	۰/۳۹	۱/۳۱	۱/۸۳	پایه	AISI P20	

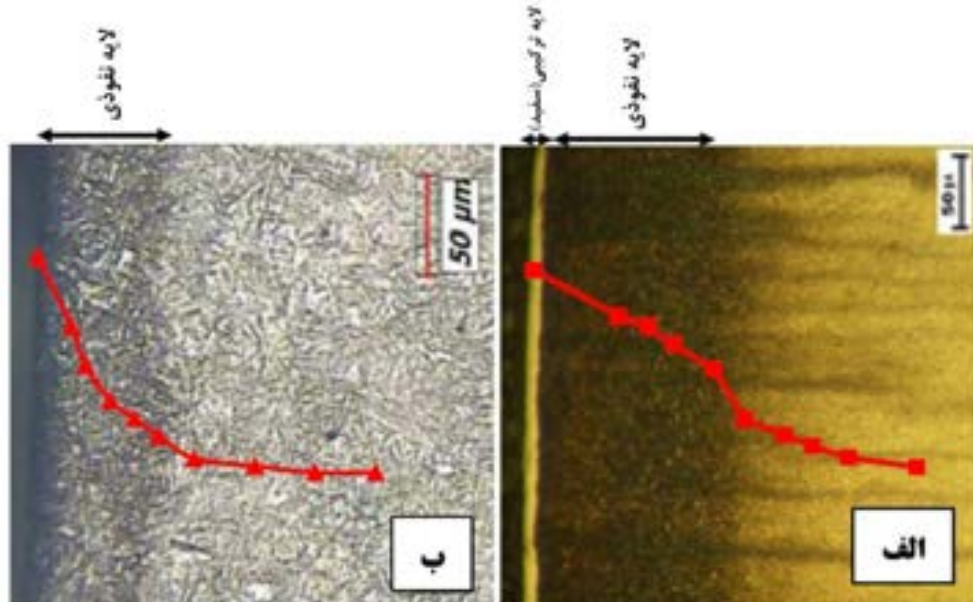
زاویه راس ۱۳۶ درجه استفاده گردید. این دستگاه دارای میکروسکوپ نوری با بزرگنمایی ۴۰۰ برابر بوده و تحت بار ۵۰ گرم و زمان ۱۵ ثانیه استفاده شد. همچنین به منظور حصول از دقت ضخامت لایه نفوذی اندازه گیری شده توسط تصاویر میکروسکوپی این تصاویر با ضخامتی که در آن سختی به نزدیکی سختی سطح میرسد مقایسه گردیدند.

نتایج و بحث

تصاویر متالوگرافی از سطح مقطع نمونه های نیتروژن دهی پلاسمائی شده فولادهای AISI H11 و AISI P20 در شکل ۳ نشان داده شده است. با توجه به این تصاویر، پس از نیتروژن دهی پلاسمائی در فولاد AISI H11 سه منطقه شامل لایه ترکیبی، منطقه نفوذی و زیرلایه در تصویر متالوگرافی مشاهده می شود اما در فولاد AISI P20 لایه سفید به وضوح مشهود نیست. مقادیر میانگین ضخامت لایه نفوذی برای نمونه های مختلف در جدول ۲ ارایه شده است. با مقایسه مقادیر جدول ۲ مشاهده می شود که مقادیر اندازه گیری شده برای ضخامت لایه نفوذی فولاد AISI P20 در تمامی دماها و زمان های نیتروژن دهی کمتر از مقادیر مربوط به فولاد AISI H11 است.

سپس نمونه ها همراه با مانت توسط دستگاه برش مجهر به خنک کننده دو نیم شدند. نمونه های مانت شده با انجام عملیات سنباده زنی و پولیش برای متالوگرافی آماده شدند. برای مشاهده ریز ساختار لایه های تشکیل شده روی سطح نمونه، با استفاده از میکروسکوپ نوری مدل Meiji مجهز به دوربین ویدئویی متصل به کامپیوتر، تصاویر ریز ساختاری از مقاطع عمودی نمونه تهیه گردید، که پس از اچ کردن با محلول نایتال ۲ و ۵ درصد، منطقه نفوذی نیز در نمونه ها قابل رویت شد.

ضخامت منطقه نفوذی با استفاده از تصاویر متالوگرافی با دقت یک میکرومتر اندازه گیری شد. از میکروسکوپ الکترونی رو بشی (SEM) مدل Vega Tescan، مجهز به آشکارساز (Inca OXFORD) EDS برای بررسی و تعیین ضخامت لایه سفید، مورفولوژی سطح، نیتریدهای سطحی و آنالیز ذرات نیتریدی تشکیل شده استفاده گردید. بررسی فازهای تشکیل شده به وسیله دستگاه پراش اشعه ایکس (XRD) با طول موج اشعه $1/54$ آنگستروم و لامپ کاتد مسی و فیلتر نیکل صورت گرفت. برای به دست آوردن نیم رخ سختی (تغییرات سختی از سطح به درون نمونه)، از دستگاه ریز سختی سنج به روش میکرو ویکرز با نفوذ کننده هرمی شکل با



شکل ۳. تصویر میکروسکوپی نوری از سطح مقطع نمونه های نیتروژن دهی پلاسمائی شده در دمای 550°C به مدت زمان ۱۰ ساعت، (الف) AISIH11 پس از اچ در محلول نایتال ۵٪، (ب) AISI P20 پس از اچ در محلول نایتال ۲٪.

جدول ۲. ضخامت لایه نفوذی برای نمونه های نیتروژن دهی پلاسمائی شده در دماها و زمان های مختلف و ترکیب

گاز $\text{H}_2\text{N}_2/75\%$

فولاد	دما (°C)	زمان (ساعت)	ضخامت نفوذی (μm)	ضخامت لایه ترکیبی (μm)
H11	۵۰۰	۵	۹۵	۵
	۵۰۰	۱۰	۱۵۴	۵
	۵۵۰	۵	۱۲۸	۷
	۵۵۰	۱۰	۱۸۵	۶
P20	۵۰۰	۵	۵۴	۲
	۵۰۰	۱۰	۸۲	۳
	۵۵۰	۵	۷۴	۲
	۵۵۰	۱۰	۹۳	۱

اتم های نیتروژن می شوند [۱۶].

کربن به عنوان یک عنصر آلیاژی بین نشین اثر مشخص تری دارد زیرا به طور موثرتری تعداد مکان های درون شبکه ای در دسترس برای نیتروژن را کاهش می دهد. در خصوص نقش عناصر آلیاژی در کاهش ضریب نفوذ نیتروژن، دیگر مکانیزم مطرح، مرتبط با به دام افتادن اتم های نیتروژن به وسیله عناصر آلیاژی محلول جامد است [۱۶]. بر این اساس، ثابت شده است که حین به دام افتادن، اتم نیتروژن به طور موقتی به فرم $(\text{Fe},\text{M})\text{-N}$ درآمده و از ادامه حرکت به سمت عمق باز می ماند.

حین فرآیند نیتروژن دهی، مراحل: ۱- به دام افتادن اتم نیتروژن توسط عناصر آلیاژی، ۲- آزاد شدن اتم نیتروژن از پیوند با عناصر آلیاژی و ۳- به دام افتادن مجدد و پیوند دوباره اتم نیتروژن با عناصر آلیاژی، به طور مکرر تکرار می شود و منجر به کند شدن نفوذ نیتروژن می شود [۱۶]. با مقایسه مقادیر عناصر نیتریدزایی (کروم، مولیبدن) دو فولاد دیده می شود مقدار کروم و مولیبدن فولاد AISI H11 بیشتر از فولاد AISI P20 است و به نظر می رسد که این عامل بایستی در کاهش ضریب نفوذ نیتروژن در فولاد AISI H11 تاثیر بیشتری داشته باشد، لیکن با در نظر گرفتن ضخامت بالاتر و به عبارتی عمق نفوذ بیشتر نیتروژن در ریز ساختار فولاد AISI H11 به نظر می رسد که نقش این مکانیزم در ضریب

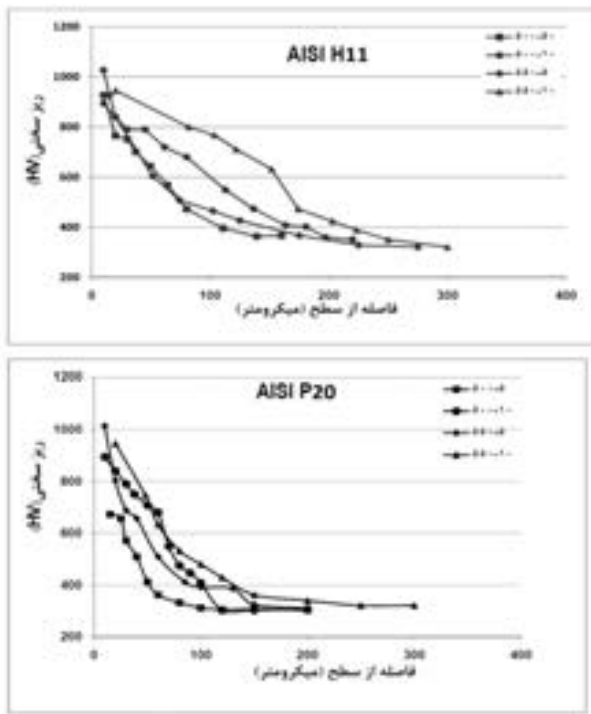
مقدار کمتر ضخامت لایه نفوذی به دست آمده برای نفوذ نیتروژن در زمینه فولاد AISI P20 نسبت به فولاد AISI H11 را می توان با دو دلیل توجیه نمود:

الف) عامل ریز ساختار: فولاد ابزار گرم کار AISI H11 دارای ساختار پر لیتی - بینایتی بسیار ریز و چگالی مرز دانه های بالایی است، لذا احتمال می رود که در این فولاد در دماهای تحت نیتروژن دهی، سهم عمدahای از نفوذ از طریق مرز دانه های انجام شده و موجب ایجاد عمق نفوذ بالایی از نیتروژن در آن شود، در مقابل ساختار فولاد قالب پلاستیک AISI P20 کوئنچ و باز پخت شده متشكل از تیغه های مارتزیت باز پخت شده است. این ریز ساختار در فولادهای قالب پلاستیک کاملاً قابل انتظار و معمول است [۱۵].

گزارش شده است که تنش های پسماند فشاری ایجاد شده به وسیله کوئنچ و باز پخت به موازات سطح عمل می کند و باعث می گرددند که فاصله صفحات اتمی موازی سطح کاهش یابد [۱۶]. در نتیجه تنش های فشاری پسماند مربوط به ساختار مارتزیتی، نفوذ نیتروژن به درون زیر لایه را دشوار ساخته و به تعویق می اندازد.

ب) عناصر آلیاژی: عناصر آلیاژی موجود در ترکیب شیمیایی فولاد P20 Cr و Mn در مرحله آستینیتی شدن حل می شوند، اما قسمت اعظم اتم های عناصر آلیاژی و اتم های کربن به دلیل آنکه سرعت سرمایش حین کوئنچ نمودن نسبتاً بالا است درون شبکه bct باقی می مانند و از طریق تشکیل محلول جامد موجب افزایش مقاومت شبکه در مقابل حرکت

فولاد AISI H11 به دلیل وجود عناصر نیترید زای بالاتر و مسیرهای نفوذ مناسب تر و در نتیجه تشکیل میزان بالاتری از نیتریدهای عناصر آلیاژی در فولاد AISI H11 است.

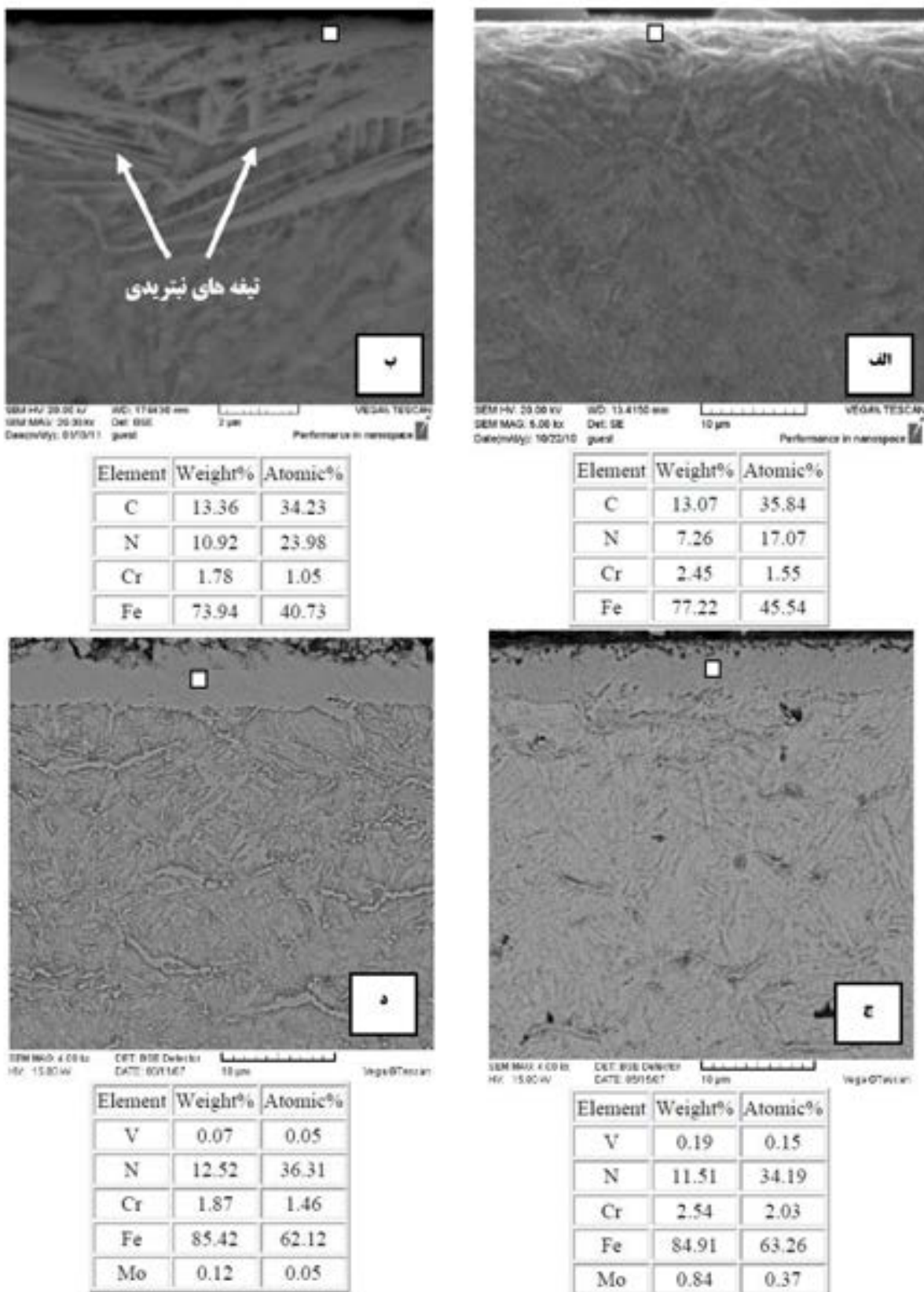


شکل ۴. نمودارهای نیم رخ سختی از مقطع فولادهای AISI H11 و AISI P20 بعد از نیتروژن دهی پلاسمائی در دماها و زمانهای مختلف و ترکیب گاز $\text{H}_2\text{-N}_2=75\% - 25\%$

در شکل ۵ نمونه هایی از تصاویر میکروسکوپ الکترونی روبشی از سطح مقطع فولادهای AISI H11 و AISI P20 نیتروژن دهی پلاسمائی شده در دمای 500°C درجه سانتیگراد و به مدت زمان ۵ و 10°C ساعت نشان داده شده است. در تصاویر SEM نمونه های نیتروژن دهی پلاسمائی شده، لایه ترکیبی در بالا و به رنگ سفید و در زیر آن منطقه نفوذی رویت می شود. با استفاده از این تصاویر میانگین ضخامت لایه ترکیبی تشکیل شده پس از نیتروژن دهی پلاسمائی اندازه گیری شد که نتایج آن در جدول ۲ آمده است. مشاهده می شود در این حالت نیز ضخامت لایه ترکیبی به دست آمده برای فولاد AISI H11 در تمامی دماها و زمانهای عملیات بیشتر از ضخامت لایه ترکیبی فولاد AISI P20 است. مطابق با شکل ۴-الف و ب آنالیز عنصری لایه ترکیبی در فولاد AISI P20 AISI H11 حاکی از حضور آهن به همراه نیتروژن و کربن (کاربونیترید آهن) در

نفوذ نیتروژن نسبت به دو عامل دیگر کمرنگ تر بوده است. در تحقیق دیگری نیتروژن دهی پلاسمائی فولاد AISI P20 ضخامت لایه نفوذی کمتری نسبت به فولاد AISI H13 گزارش شده است که دلیل این امر مقادیر بیشتر کروم در فولاد AISI H13 و تمایل به جذب نیتروژن بیشتر کروم در لایه نفوذی عنوان شده است [۱۷]. در مجموع می توان نتیجه گرفت که شاید در تحقیق حاضر سیستمیک نفوذ نیتروژن در منطقه نفوذی بگونه ای است که عامل کترول کننده نفوذ نیتروژن، مسیرهای نفوذ در زیرلایه است و عامل بازدارنده عناصر آلیاژی، نقش کمتری نسبت به ریزساختار فولاد زمینه در نفوذ نیتروژن ایفا می کند. بنابراین در نهایت نفوذ نیتروژن در زمینه فولاد AISI H11 بیشتر از فولاد قالب AISI P20 شده است.

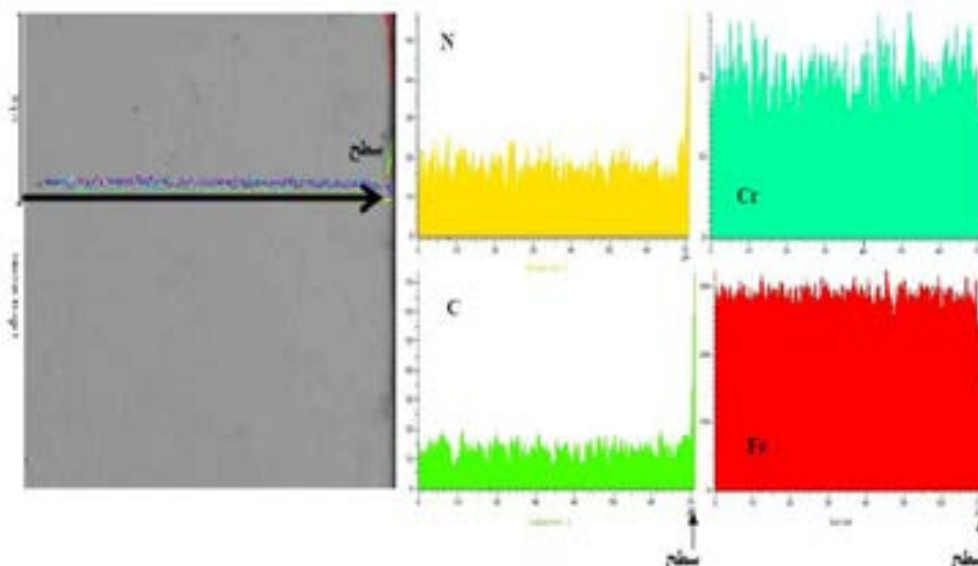
در شکل ۴ نمودارهای نیم رخ سختی از مقطع فولادهای AISI P20 و AISI H11 پس از نیتروژن دهی پلاسمائی نشان داده شده است. مهمترین ویژگی این نمودارها تداوم کاهش تدریجی سختی از سطح تا عمق است. این امر وجود یک لایه نفوذی را محتمل می سازد که شامل رسوبات نیتریدی آهن و سایر عناصر آلیاژی است. تنش های فشاری لایه نیتریده شده که ناشی از ناهمخوانی شبکه ای ایجاد شده در نتیجه تشکیل رسوبات نیتریدهای آلیاژی در زمینه آهنی است باعث ایجاد اعوجاج در شبکه و در نتیجه قفل شدن نابجایی ها می شود و در نهایت سختی نمونه های نیتریده شده افزایش می یابد [۴]. از سوی دیگر نقطه ای را که در آن سختی تقریباً با سختی زیرلایه برابر می شود را می توان مرز میان لایه نفوذی و مغز نمونه دانست. از این رو ضخامت لایه نفوذی از این طریق نیز قابل محاسبه است که این نتایج به طور نسبی با نتایج ضخامت به دست آمده از روش متالوگرافی تطابق دارد و از روی این نمودارها نیز دیده می شود که عمق نفوذ نیتروژن در فولاد AISI H11 بیشتر از فولاد AISI P20 بوده است. همچنین با مقایسه دو نمودار در شکل ۴ دیده می شود در یک عمق یکسان، فولاد AISI H11 میزان سختی بالاتری نسبت به فولاد AISI P20 نشان می دهد. دلیل این امر همانطور که پیشتر اشاره شد مرتبط با نفوذ بیشتر نیتروژن در زیرلایه



شکل ۵. تصویر میکروسکوپی الکترونی از سطح مقطع نمونه های نیتروژن دهی پلاسمائی شده (الف) - AISI P20 ۵-۵۰۰°C - AISI P20 ۵-۵۰۰°C - AISI P20 ۱۰-۵۰۰°C - AISI P20 ۱۰-۵۰۰°C - AISI H11 ۵-۵۰۰°C - AISI H11 ۵-۵۰۰°C - AISI H11 ۱۰-۵۰۰°C - AISI H11 ۱۰-۵۰۰°C ساعت، ب) ۵ ساعت، ج) ۱۰ ساعت، د) ۱۰ ساعت به همراه آنالیز عنصری از لایه ترکیبی.

فولاد قالب پلاستیک AISI P20 تنش‌های پسماند فشاری ایجاد شده در مرحله کوئنچ و بازپخت باعث شده است که حین عملیات نیتروژن دهی پلاسمائی فولاد AISI P20 پدیده نفوذ کربن به سمت سطح و دکربوره شدن در دماهای پایین‌تری نسبت به فولاد AISI H11 آغاز شود. در شکل ۷ نمونه‌ای از تصاویر SEM از سطح نمونه‌های نیتروژن دهی پلاسمائی شده در دمای ۵۰۰ درجه سانتیگراد و زمان ۵ و ۱۰ ساعت نشان داده شده است. مطابق با این تصاویر مشاهده می‌شود که در حین فرآیند نیتروژن دهی پلاسمائی ذراتی بر روی سطح هر دو نمونه فولادی تشکیل شده‌اند که در نمونه AISI P20 تعداد این ذرات بر روی سطح به مراتب کمتر از نمونه AISI H11 است همانطورکه در شکل ۱ نشان داده شده است، مطابق مکانیزم پیشنهادی برای رشد لایه ترکیبی شعاع ذرات سطحی با d نشان داده شده با h وضخامت بخش نفوذی لایه سفید با d نشان داده شده است. با مقایسه ضخامت لایه ترکیبی دو فولاد مورد تحقیق مطابق با جدول ۲ و تصاویر میکروسکوپی الکترونی از سطح نمونه‌ها در شرایط زمانی و دمایی یکسان نیتروژن دهی پلاسمائی مطابق با شکل ۷، به نظر می‌رسد رشد لایه ترکیبی

لایه ترکیبی است. در صورتی که مطابق با شکل ۴-ج و د در فولاد ابزار گرم کار AISI H11 لایه ترکیبی بیشتر شامل آهن و نیتروژن (نیترید آهن) است. همین پدیده برای هر دو فولاد نیتروژن دهی شده در دمای ۵۵۰ درجه سانتیگراد و به مدت ۵ و ۱۰ ساعت نیز مشاهده گردید. به نظر می‌رسد در فولاد AISI P20 حضور کربن در مناطق نزدیک به سطح ناشی از مهاجرت و نفوذ کربن به سمت سطح (نفوذ به بیرون^۱ کربن) باشد. شکل ۶ آنالیز خطی عنصری از سطح به عمق نمونه فولاد AISI P20 نیتروژن دهی شده را نشان می‌دهد که تجمع کربن و نیتروژن در سطح به طور کیفی مشاهده می‌شود. محققین مختلف [۱۸-۲۲]، پدیده نفوذ کربن حین نیتروژن دهی پلاسمائی را گزارش نموده‌اند. گزارش شده است [۱۸] که مهاجرت کربن به سمت سطح منجر به تشکیل یک لایه غنی از کربن در قسمت فوقانی لایه نیتریده و در نتیجه دکربوره شدن قابل توجهی در لایه نیتریدی می‌شود [۱۸]. دلیل این پدیده این گونه توجیه شده است [۱۹] که به دلیل وجود تنش در لایه نیتریدی، کربن تمایل دارد به سمت مناطق عاری از تنش همانند سطح مهاجرت کند که نتیجه این پدیده دکربوره شدن منطقه نفوذی خواهد بود. به نظر می‌رسد که در



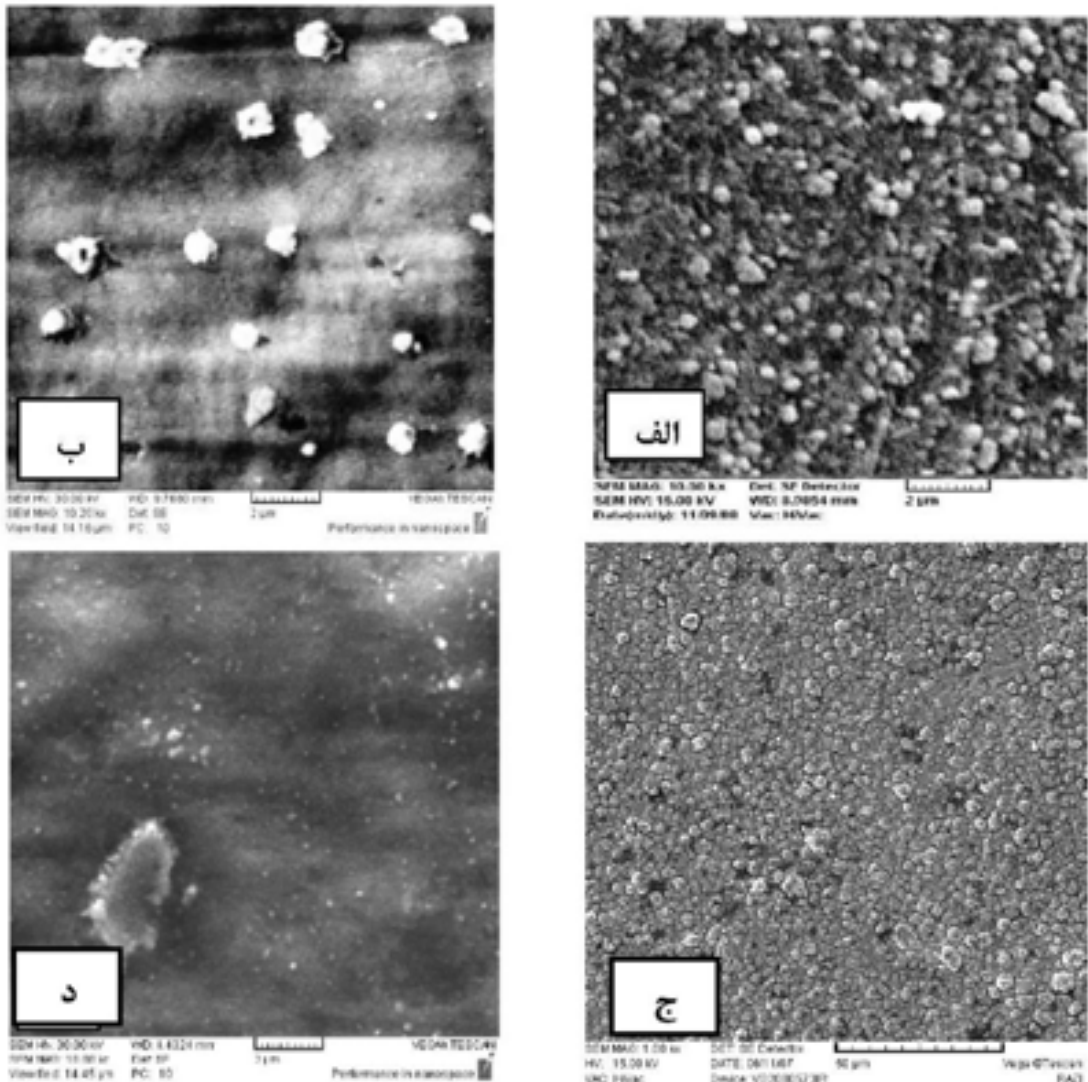
شکل ۶. آنالیز خطی از سطح مقطع نمونه نیتروژن دهی شده در دمای ۵۰۰^۰C به مدت زمان ۵ ساعت

^۱Outward diffusion

شکل ۸- الف نشان می دهد که در سطح نمونه AISI H11 هر دو فاز نیتریدی γ و ϵ تشکیل شده است. مطابق با شکل ۸-الف با افزایش زمان نیتروژندهی در دمای ثابت شدت پیک فاز γ افزایش می یابد ولی از شدت پیک فاز ϵ کاسته می شود. با افزایش زمان در دمای ثابت، میزان تجزیه فاز اپسیلن افزایش یافته و در نتیجه تشکیل فاز گامابرایم نیز افزایش می یابد و از این رو، مطابق با نتایج به دست آمده شدت پیکهای فاز گامابرایم افزایش می یابد. در فولاد AISI H11 با افزایش دمای نیتروژندهی در زمان ثابت شدت پیک هر دو فاز γ و ϵ زیاد

در فولاد AISI P20 از این مکانیزم کاملاً پیروی نمی کند. طبق مکانیزمی که پیشتر بدان درباره رشد لایه ترکیبی اشاره شد، در نیتروژندهی پلاسمائی فولاد قالب پلاستیک AISI P20 فقط بخش نفوذی لایه ترکیبی تشکیل می شود و این امر موجب کاهش قابل توجه ضخامت لایه ترکیبی بدست آمده برای فولاد AISI P20 در مقایسه با ضخامت لایه ترکیبی فولاد AISI H11 می شود.

شکل ۸ نمودارهای XRD بدست آمده از سطح نمونه های نیتروژندهی پلاسمائی شده در دماها و زمان های مختلف نیتروژندهی پلاسمائی را نشان می دهد.



شکل ۷. تصویر میکروسکوپی الکترونی از سطح نمونه های نیتروژندهی پلاسمائی شده (الف) $^0\text{C-AISI H11}$ ۵ ساعت
ب) $^0\text{C-AISI H11}$ ۵۰ ساعت، ج) $^0\text{C-AISI P20}$ ۵۰ ساعت و د) $^0\text{C-AISI P20}$ ۵۰۰ ساعت.

شده است [۱۹] که کربن تشکیل فاز ۴ در لایه ترکیبی را تسهیل می‌نماید [۱۹] یا به عبارت دیگر کربن پایدار کننده فاز ۴ است. همچنین گزارش شده است [۲۵] که در فرآیند نیتروژندهی پلاسمائی آهن خالص فقط نیترید ۷ تشکیل می‌شود و با حضور کربن دامنه پایداری نیترید ۴ افزایش می‌یابد [۲۵]. همان‌گونه که پیش‌تر اشاره شد در تحقیق حاضر مهاجرت کربن به سمت سطح در نتایج نیتروژندهی پلاسمائی فولاد قالب AISI P20 مشاهده شده است، لذا احتمال داده فولاد که در الگوی پراش اشعه ایکس آشکار شده است، در اثر این پدیده باشد. همچنین گزارش شده است در دماهای بالا و زمان‌های طولانی که سطح در معرض پلاسما قرار می‌گیرد کربن از سطح توسط فرآیند کند و پاش کنده می‌شود [۲۷-۲۵]. با کاهش اتم‌های کربن فاز اپسیلن تجزیه و ناپدید می‌شود و نیترید ۷ تشکیل می‌شود [۲۵-۲۷]. با توجه به این شواهد می‌توان اظهار نمود که شاید در این تحقیق، در دمای ۵۵۰ درجه سانتیگراد و زمان ۱۰ ساعت حذف کربن از سطح نمونه فولاد AISI P20 حین نیتروژندهی پلاسمائی آغاز شده است و نخستین پیک‌های نیترید ۷ ظاهر شده‌اند.

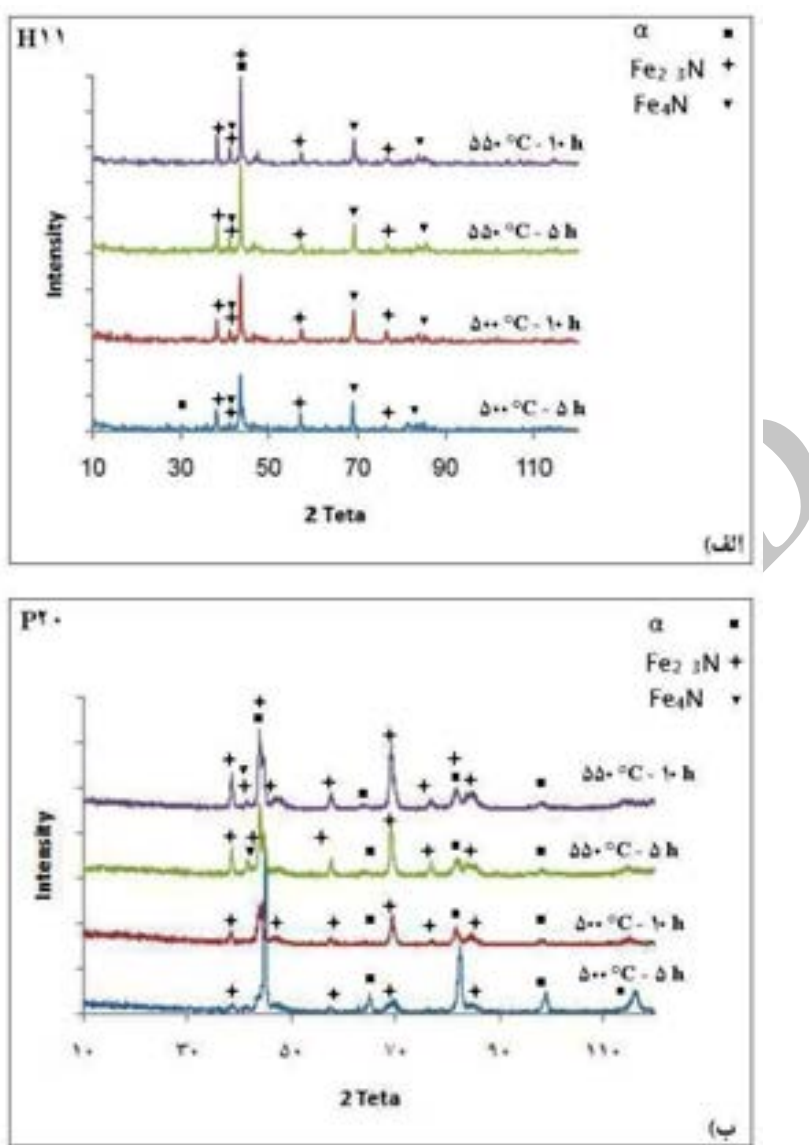
نتیجه گیری

در این تحقیق اثر پارامترهای زمان و دمای نیتروژندهی پلاسمائی بر روی دو فولاد ابزار گرم کار AISI H11 و فولاد قالب تزریق پلاستیک AISI P20 مورد بررسی و مقایسه قرار گرفت و نتایج زیر حاصل شد:

- به ازای هر زمان و دمای معین نیتروژندهی پلاسمائی، به دلیل نوع ریزساختار زیرلایه و مسیرهای نفوذی مناسب‌تر عنصر نیتروژن در فولاد AISI H11 نسبت به AISI P20 همواره ضخامت لایه نفوذی و ترکیبی تشکیل شده در فولاد AISI H11 بیش‌تر از فولاد AISI P20 است.

- مطابق با نتایج نیمرخ سختی، در یک عمق یکسان، فولاد AISI H11 میزان سختی بالاتری در اثر نفوذ نیتروژن بیش‌تر و تشکیل میزان بیش‌تری از نیتریدهای عناصر آلیاژی نسبت به فولاد AISI P20 نشان می‌دهد.

شده است و هیچ‌گونه کاهشی درشدت پیک این دو فاز دیده نمی‌شود. ولی نکته جالب آن است که میزان افزایش برای پیک‌های فاز ۴ بیش‌تر از فاز ۷ است. این مساله را می‌توان به افزایش میزان تجزیه و یونیزاسیون مولکول‌ها و اتم‌های نیتروژن در اتمسفر پلاسما مرتبط دانست [۲۲]. بدیهی است که با افزایش دمای نیتروژندهی یون‌ها و رادیکال‌های آزاد نیتروژن در محیط بیش‌تر می‌شوند و به عبارتی از غلظت بالاتری برخوردار خواهند بود، لذا می‌توان بیان داشت که هم احتمال کندوپاش اتم‌های آهن از سطح زیاد شده و هم رادیکال‌های نیتروژن بیش‌تری برای انجام واکنش با رادیکال آهن کند و پاش شده در محیط حاضر استند، لذا احتمال تشکیل فاز FeN در محیط و رسوب آن بر روی قطعه افزایش می‌یابد. این فاز یک فاز نیتریدی ناپایدار بوده و در دمای فرآیند به سرعت به فاز $Fe_{2-3}N$ تجزیه می‌شود [۲۴]، لذا انتظار می‌رود که شدت پیک‌های فاز ۴ افزایش یابد. از طرف دیگر افزایش زمان نیتروژندهی در دمای ثابت منجر به افزایش تجزیه فاز ۴ به فاز ۷ نیز می‌شود. ولی با توجه به آنکه این دو فاز هر دو از فازهای پایدار سیستم بوده و غلظت نیتروژن نیز به حدی بالا است که می‌تواند به پایداری بیشتر فاز ۴ کمک کند، میزان تجزیه فاز ۴ به فاز ۷ کمتر از میزان تشکیل و تجزیه فاز FeN به فاز $Fe_{2-3}N$ است. از یک سو، پدیده افزایش شدت پیک فاز ۴ در مقایسه با فاز ۷ در اثر افزایش دما در زمان ثابت نیتروژندهی، توسط عده ای از محققین گزارش شده است [۲۴]. اما از دیدگاه دیگر، عده ای از محققین [۲۳] اظهار داشته‌اند که با افزایش دمای نیتروژندهی در زمان ثابت شدت پیک‌های فاز ۴ در مقایسه با فاز ۷ کاهش می‌یابد. آن‌ها علت بروز این پدیده را مرتبط با افزایش تجزیه فاز ۴ به فاز ۷ در دماهای بالاتر اعلام کرده‌اند [۲۳]. همان‌گونه که در نمودار ۸- ب دیده می‌شود فاز نیترید آهن ۴ ($Fe_{2-3}N$) به عنوان فاز نیتریدی غالب در سطح نمونه فولاد قالب پلاستیک AISI P20 در همه شرایط زمانی و دمایی انجام فرآیند تشکیل شده است و نیترید ۷ (Fe_2N) تنها در نیتروژندهی پلاسمائی در دمای ۵۵۰ درجه سانتیگراد و زمان ۱۰ ساعت تشکیل شده است. گزارش



شکل ۸. نمودارهای پراش اشعه ایکس نمونه های نیتروژن دهی پلاسمائی شده در دماها و زمان های مختلف و ترکیب گاز $\text{H}_\text{۲}/\text{N}_\text{۲} = ۷۵/۲۵$ (الف) AISI H11، (ب) AISI P20، اطلاعات مریوط به اندیس صفحات فازهای اشاره شده در پیوست آورده شده است.

فاز نیتریدی غالب در همه شرایط زمانی و دمایی انجام فرآیند تشکیل شده است.

۳- نتایج آمالیز EDS از لایه نیتریدی نشان داد که حين نیتروژن دهی پلاسمائی فولاد AISI P20 نفوذ کربن به سمت سطح روی داده است ولی در لایه نیتریدی فولاد AISI H11 این پدیده مشاهده نشد.

۴- پس از فرآیند نیتروژن دهی پلاسمائی فازهای γ (Fe₄N) و اپسیلن (Fe_{2.3}N) فازهای پایدار در سطح فولاد AISI H11 هستند که با افزایش زمان شدت پیکهای مربوط به فاز γ و اپسیلن به ترتیب افزایش و کاهش می یابد. افزایش دما نیز سبب افزایش شدت پیکهای هر دو فاز گام اپرایم و اپسیلن می شود. در فولاد AISI P20 فاز نیترید اپسیلن (ε) به عنوان

منابع

1. C. Vergne, C. Boher and R. Gras, *Analysis of the friction and wear behavior of hot worktool scale: application to the hot rolling process*, Wear, 250(2001)322–333.
2. M. V. Leite, C. A. Figueiroa, S. C. Gallo, A. C. Rovani, R. L. O. Basso, P. R. Meid, I. J. R. Baumvol and A. Sinatorta, *Wear mechanisms and microstructure of pulsed plasma nitrided*

- AISI H13 tool steel*, Wear, 269(2010)466-472.
3. W. Kovacs and W. Russel, *Proc. Conform ion nitriding*, Cleveland, OH, American Society for Metals, Metals Park, OH ,(1987)47.
 4. O. Ztürk, O. Onmus, and D. L. Williamson, *Microstructural, mechanical, and corrosion characterization of nitrogen-implanted plastic injection mould steel*, Surface and Coatings Technology, 196(2005)333-340.
 5. D. C. Wen, *Microstructure and corrosion resistance of the layers formed on the surface of precipitation hardenable plastic mold steel by plasma-nitriding*, Applied Surface Science, 256(2009)797-804.
 6. S. J. Bull, R. I. Davidson, E. H. Fisher, A. R. McCabe, A. M. Jones, *A simulation test for the selection of coatings and surface treatments for plastics injection moulding machines*, Surface and Coatings Technology, 130(2000)257-265.
 7. P. Boey, W. Ho, S. J. Bull, *The effect of temperature on the abrasive wear of coatings and hybrid surface treatments for injection-moulding machine*", Wear, 258(2005)149–156.
 8. Q. Luo, P. Eh. Hovsepian, D. B. Lewis, W.-D. Mqnz, Y. N. Kok, J. Cockrem, M. Bolton and A. Farinotti, *Tribological properties of unbalanced magnetron sputtered nano-scale multilayer coatings TiAlN/VN and TiAlCrYN deposited on plasma nitrided steels*, Surface and Coatings Technology, 193(2005)39– 45.
 9. O. Barrau, C. Boher, R. Gras and F. Rezai-Aria, *Analysis of the friction and wear behavior of hot work tool steel for forging*, Wear, 255(2003)1444–1454.
 10. S. Karaoglu, *Structural characterization and wear behavior of plasma-nitrided AISI 5140 low-alloy steel*, Materials Characterization, 49(2002)349-357.
 11. M. Soltanieh, H. Aghajani, F. Mahboubi, Kh.A. Nekouee, *Surface characterization of multiple coated H11 hot work tool steel by plasma nitriding and hard chromium electroplating processes*, Vacuum, 86 (2012) 1470-1476.
 12. H. Forati Rad, A. Amadeh, H. Moradi, *Wear assessment of plasma nitrided AISI H11 steel*, Materials and Design, 32 (2011) 2635–2643.
 13. ح. آقاجانی، ارزیابی تاثیر عملیات سه تایی نیتروژن دهی پلاسمائی، آبکاری کروم سخت و نیتروژن دهی پلاسمائی بر خواص سطحی فولاد ابزار گرم کار H11 دانشکده مواد و متالورژی، پایان نامه جهت اخذ مدرک دکتری: دانشگاه علم و صنعت ایران، ۱۳۸۸.
 14. ن. نایب پاشایی، ش. خیراندیش، م. سلطانیه، بررسی تاثیر پارامترهای دما و زمان نیتروژن دهی پلاسمائی بر ریزساختار، عمق نفوذ نیتروژن و سختی فولاد قالب پلاستیک P20، مجله علوم و مهندسی سطح ایران، شماره ۱۴ ، سال ۱۳۹۰.
 15. P. M. Unterweiser, H. E. Boyer, and J. J. Kubbs, *Heat Treater's Guide Standard Practices and Procedures for Steel*: American Society For Metals, 1982.
 16. A. Akbari, R. Mohammadzadeh, C. Templier, and J. P. Riviere, *Effect of the initial microstructure on the plasma nitriding behavior of AISI M2 high speed steel*, Surface and Coatings Technology, 204(2010)4114-4120.
 17. P. Hubbard, S. J. Dowey, J. G. Partridge, E. D. Doyle, D. G. McCulloch, *Investigation of nitrogen mass transfer within an industrial plasma nitriding system II: Application of a biased screen*, Surface and Coatings Technology, 204 (2010) 1151–1157.
 18. G. Nayal, D. B. Lewis, M. Lemke, W. D. Münz, and J. E. Cockrem, *Influence of sample geometry on the effect of pulse plasma nitriding of M2 steel*, Surface and Coatings Technology, 111(1999)148-157.
 19. Y. Sun and T. Bell, *Plasma surface engineering of low alloy steel*, Materials Science and Engineering: A, 140(1991)419-434.
 20. J. L. Albaran, J. A. Jurez-Islas, and L. Martinez, *Nitride width and microhardness in H12 ion nitrided steel*, Materials Letters, 15(1992)68-72.
 21. E. J. Mittemeijer, W. T. M. Straver, P. F. Colijn, P. J. van der Schaaf, and J. A. van der Hoeven, *The conversion cementite [epsilon]-nitride during the nitriding of FeC-alloys*, Scripta Metallurgica, 14(1980)1189-1192.
 22. K. T. Rie, *Recent advances in plasma diffusion processes*, Surface and Coatings Technology, 112(1999)56-62.
 23. Sh. Ahangarani, A. R. Sabour and F. Mahboubi, *Surface modification of 30CrNiMo8 low-alloy steel by active screen setup and conventional plasma nitriding method*, Applied Surface Science, 254(2007)1427-1435.

24. P. Corengia, T. G. Ybarra, C. Moinaa, A. Cabo, E. Broitman, *Microstructural and topographical studies of DC-pulsed plasma nitrided AISI 4140 low-alloy steel*, Surface and Coatings Technology, 200 (2005) 2391– 2397.
25. A. S. W. Kurny, *A Study on the Nature of the Compound Layer Formed during the Ion Nitriding of En40B Steel*, Materials Science and Engineering, 78(1986)95-100.
26. M. Michel, T. Czerwic, M. Ganotis, D. Ablitzer, and A. Ricard, *Progress in the analysis of the mechanisms of ion nitriding*, Surface and Coating Technology, 72(1995)103-111.
27. A. Wells and R. Strydom, *Influence of Sputtering and Redeposition on compound layer growth during plasma nitriding*, Surface Enginrrring, 4(1988), 55-59.